

# پەلەشتھاى گەۋەتھىم: آشىي با مەھايم و سەفتار رياضى

1

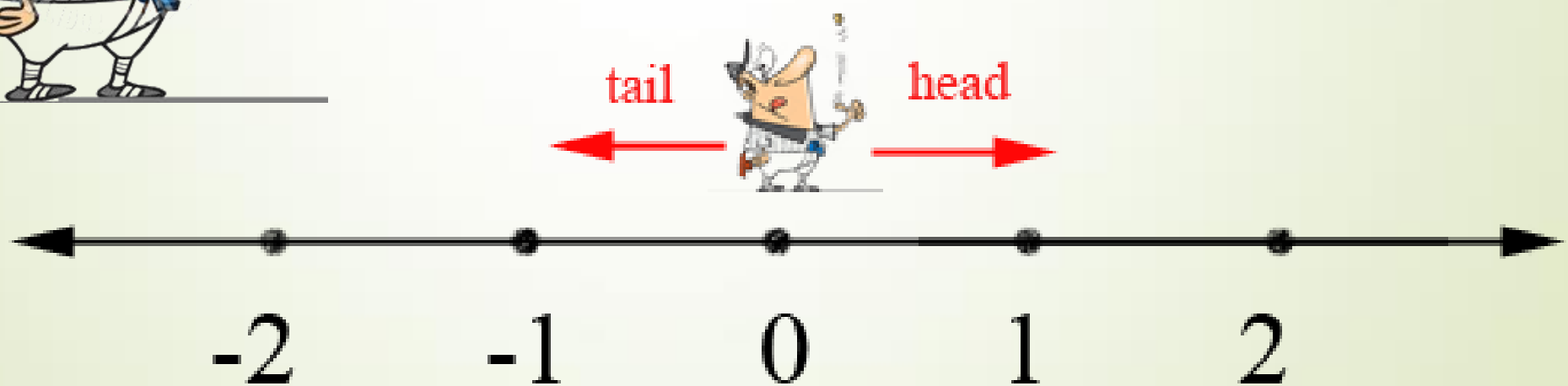
مصطفى عنابستانى، دانشگاه صنعتى شاهرود

٩٩  
مهرماه

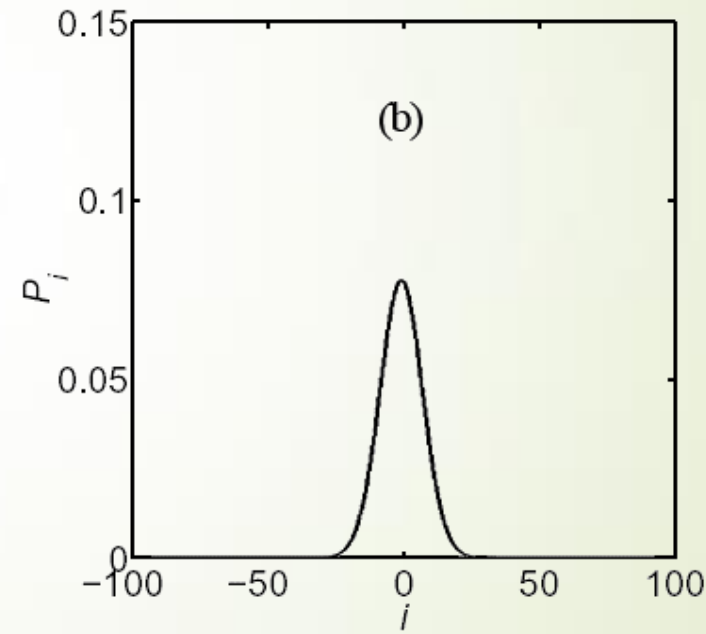
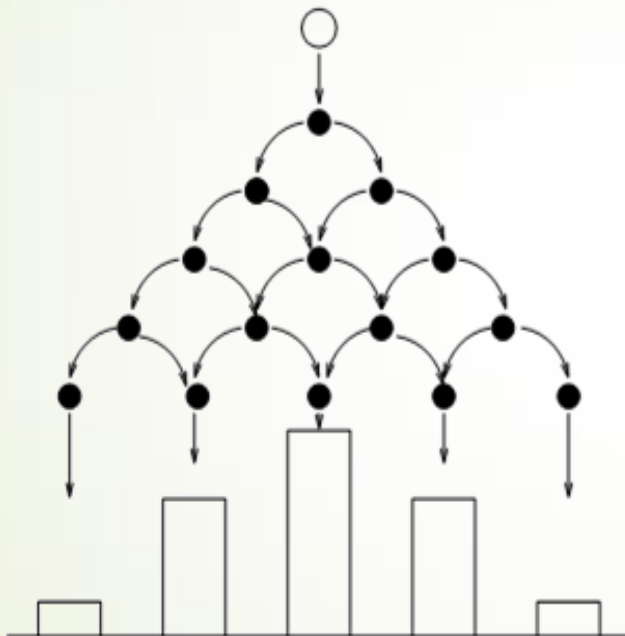
## کلاسیک:

2

- ▶ حرکت بوسیله یک متغیر تصادفی مشخص می شود.
- ▶ ساده ترین شکل آن حرکت در یک بعد است



$$\frac{5!}{2! 3!} = 10 \rightarrow p = \frac{10}{32}$$

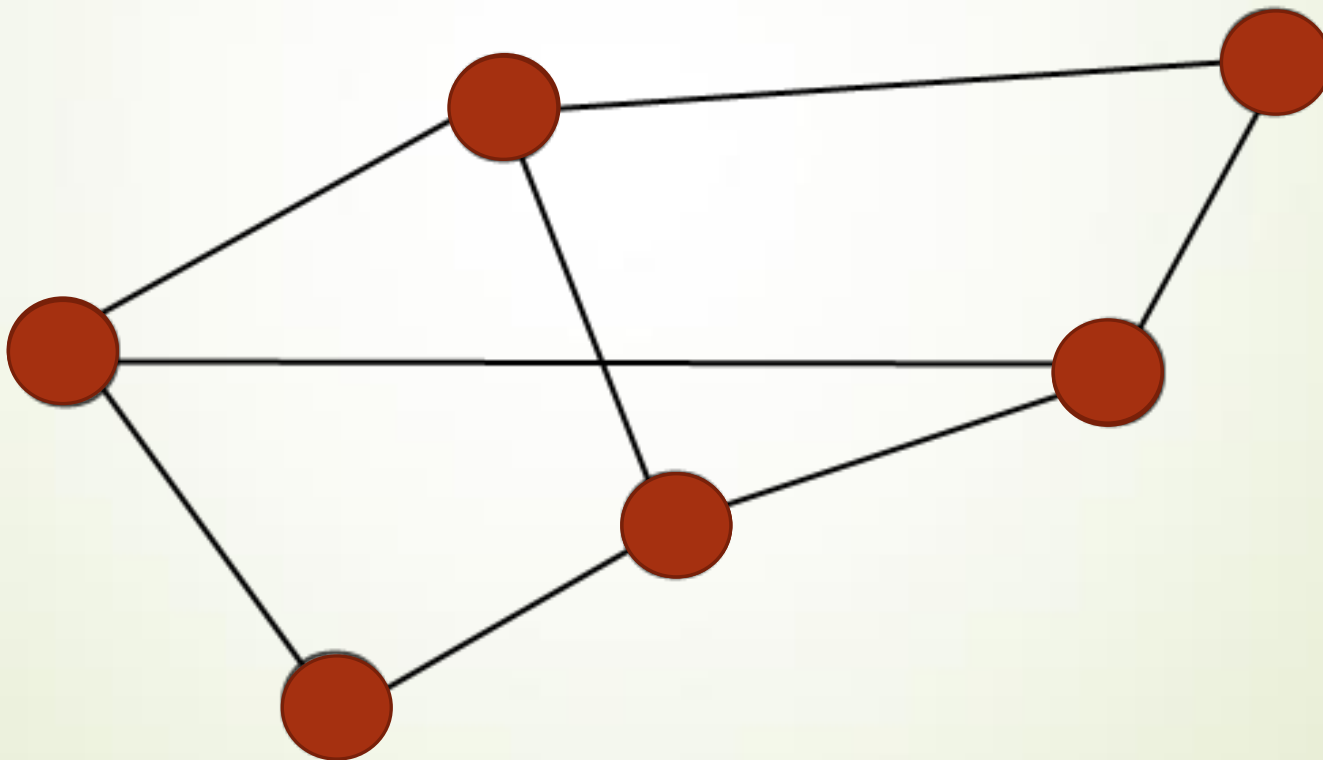


▶ بصورت کلی تر می توان حرکت را روی گراف در نظر گرفت

❖ حرکت از یک راس گراف شروع می شود

❖ یکی از راسهای همسایه بصورت تصادفی انتخاب می شوند

❖ این پروسه تا پایان حرکت بصورت پیاپی تکرار می شود



## ولگشت عادی (Natural Random walk) ➔

در یک گراف دو طرف  $G = (E, V)$  با  $n = |V|$  و گشت عادی یک پروسه تصادفی است که در آن، پروسه از یک راس شروع می‌شود و در گام بعد یکی از همسایگان آن با احتمال برابر انتخاب می‌شوند

➔ یک ولگشت عادی با ماتریس گذار  $P$  مشخص می‌شود

$$\Rightarrow P(x, y) = \begin{cases} \frac{1}{d(x)}, & y \text{ is a neighbour of } x \\ 0, & \text{otherwise} \end{cases}$$

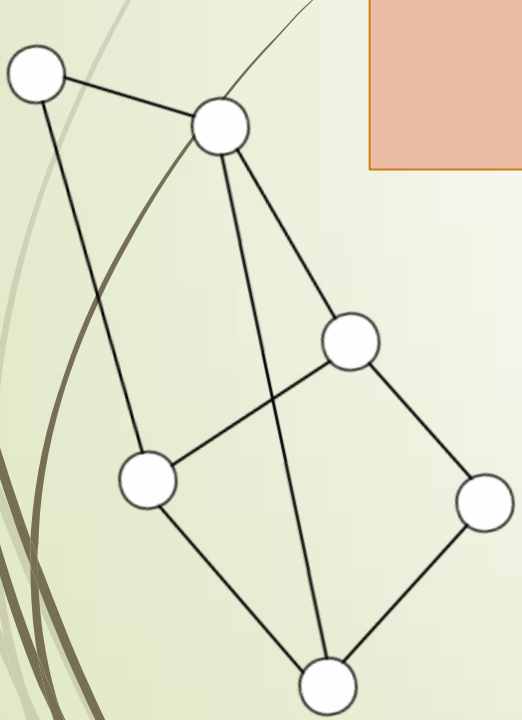
## توزيع حدی (Stationary Distribution)

در یک گراف کاهش ناپذیر با  $N$  راس و  $E$  یال، احتمال حضور در یک راس خاص  $v$  به یک توزیع ثابت حدی میل می کند که

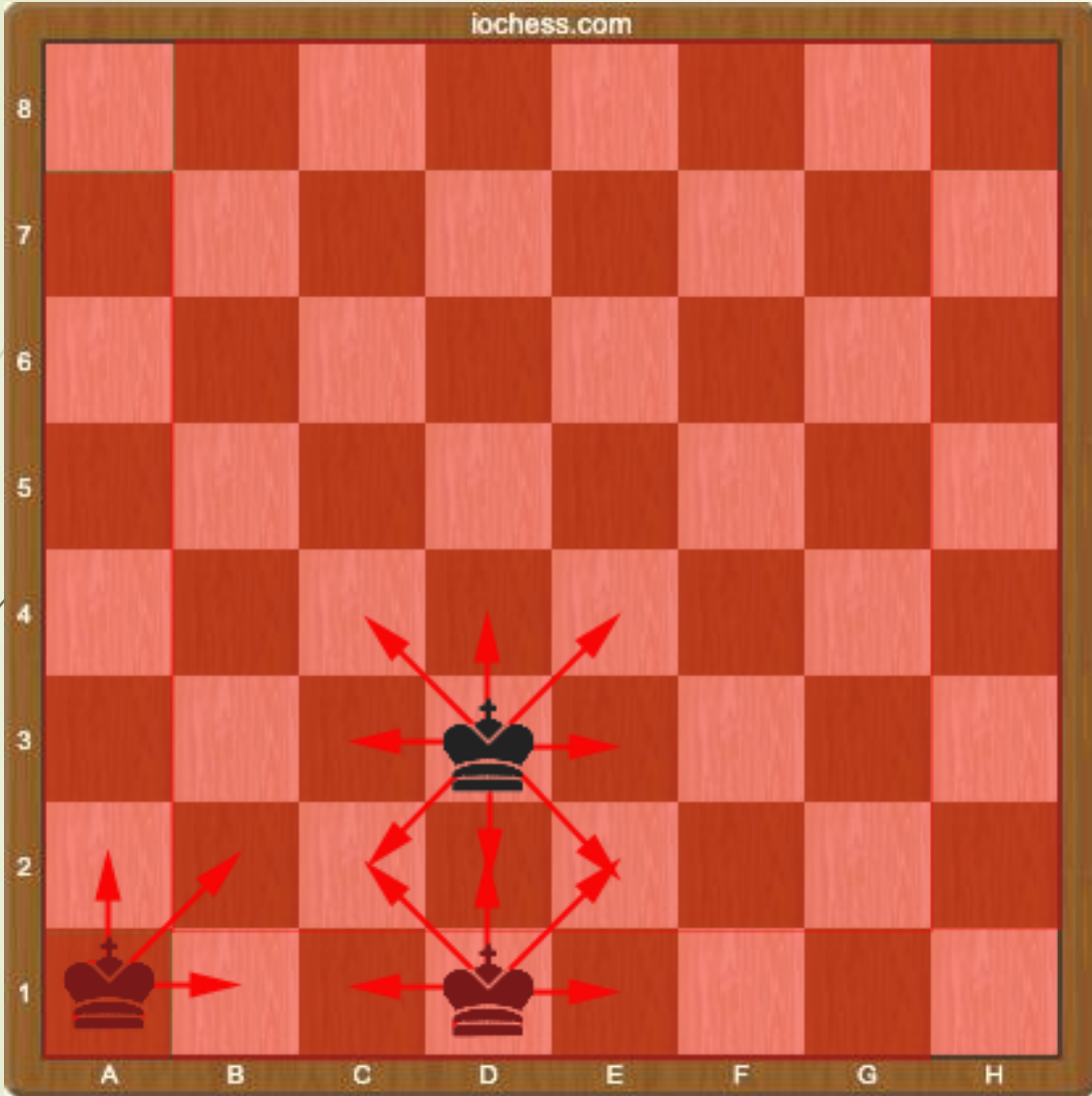
$$\pi(v) = \frac{\deg(v)}{2|E|}$$

هرچه تعداد گامها بیشتر شود توزیع احتمال به توزیع حدی نزدیکتر میشود

به بیان دیگر، متوسط زمانی که در هر راس سپری میشود به درجه راس مرتبط است.



7

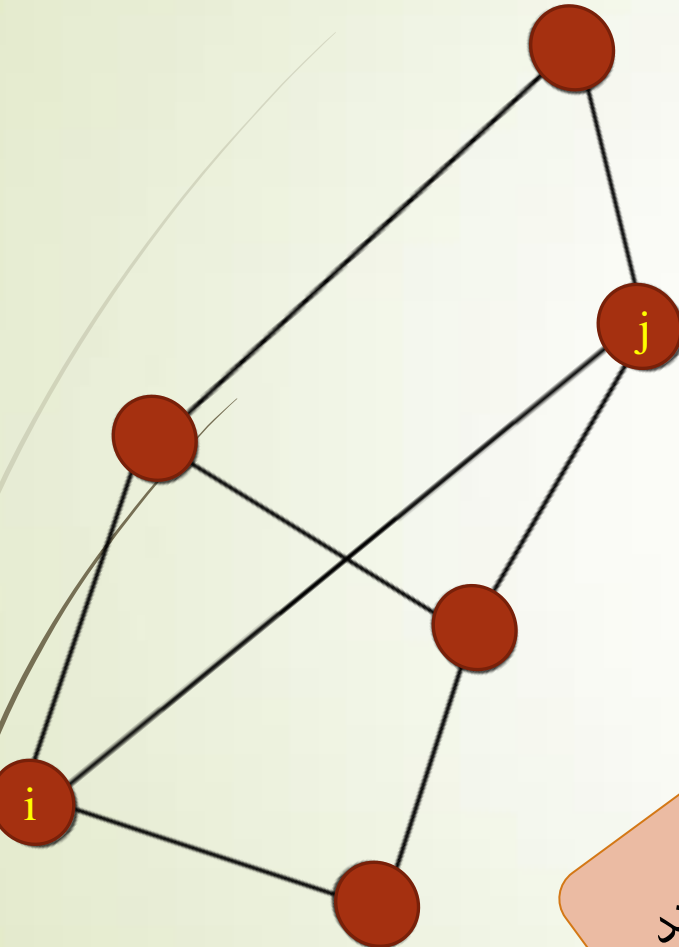


- ٢٨٨ = تعداد حركات ✓
- ١٢ = تعداد حركات ✓
- ١٢٠ = تعداد حركات ✓

- ٤٢٠ = كل حركات ✓
- ٢١٠ = تعداد يالها ✓

$$\pi = \left( \frac{288}{420}, \frac{120}{420}, \frac{120}{420} \right)$$

## برخی تهای مهم در ولگشت ها

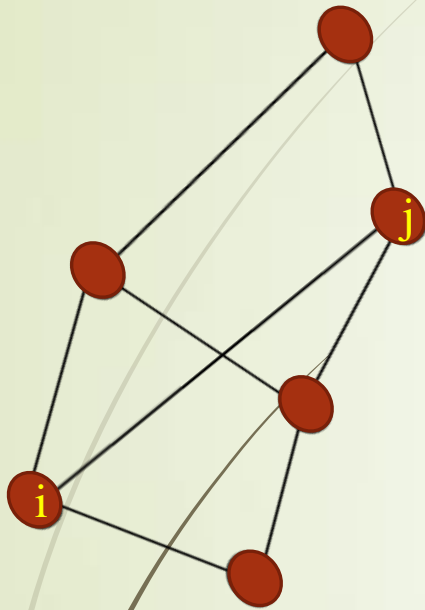


برخی تهای مهم در ولگشت ها

- Mixing Time** : مشخص کننده زمانی است که سرتاسر گراف مرتبط هستند نیاز دارد تا به حد کافی به توزیع حدی خود نزدیک شوند
- Graph Cover Time** : بیشترین تمام رؤس یک گراف
- Cover Time** : تعداد گام مورد نیاز برای رسیدن ای رسیدن به راس  $i$  با شروع از یک راس
- Minute Time** : تمام این کمیتیها به ساختار هندسی و احتمال جابجایی بین رؤس وی
- Hop Time** : تعداد گام مورد نیاز برای رسیدن ای رسیدن به راس  $j$  با شروع از یک راس
- Traversing Time** : تمام این کمیتیها به رسیدن ای رسیدن به راس  $i$  با شروع از یک راس

## برخی از کاربردها

9



- ▶ حرکت کاتوره ای - Brownian motion
- ▶ ایجاد نمونه های تصادفی - Random sample generation
- ▶ مدلسازی حرکت الکترونی در سلولهای خورشیدی - Solar panel
- ▶ طراحی الگوریتمهای سیستمهای پیشنهاد دهنده (Recommendation system) و پالایش جمعی (Collaborative filtering)
- ▶ الگوریتمهای نظارت کامپیوتري (Computer vision)
- ▶ مدلسازی سرعت نشر در همه گیری - Epidemic diffusion
  - Ultrametric random walk model for covid-19: 1 an attempt to explain slow approaching herd 2 immunity in Sweden
  - COVID-19 infection and recovery in various countries: Modeling the dynamics and evaluating the non-pharmaceutical mitigation scenarios

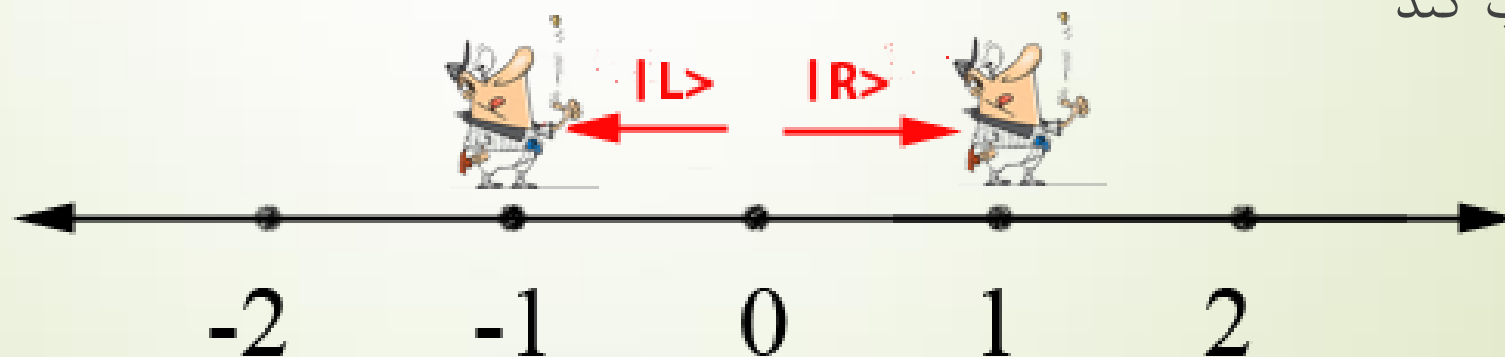
# ولگشتهای کوانتومی (Quantum walk)

▶ بجای سکه از یک عملگر یکانی استفاده می‌شود و یک عملگر جابجایی شرطی ذره کوانتومی را جابجا می‌کند

$$C = H = \frac{1}{\sqrt{2}} \begin{pmatrix} 1 & 1 \\ 1 & -1 \end{pmatrix}, \quad H|\uparrow\rangle = \frac{1}{\sqrt{2}}(|\uparrow\rangle + |\downarrow\rangle)$$

$$S = \exp(-2iS_z \otimes Pl) \quad H|\downarrow\rangle = \frac{1}{\sqrt{2}}(|\uparrow\rangle - |\downarrow\rangle)$$

▶ به دلیل وجود برهم نهی کوانتومی، ذره کوانتومی می‌تواند هر دو مسیر را در آن واحد انتخاب کند



▶ هر گام از تحول با عملگر  $U$  مشخص می شود که در هر گام ابتدا بوسیله  $C$  برهم نهی از حالات ایجاد می شود و سپس با عملگر جابحایی شرطی جابجا می شود

$$U = S \cdot (C \otimes I).$$

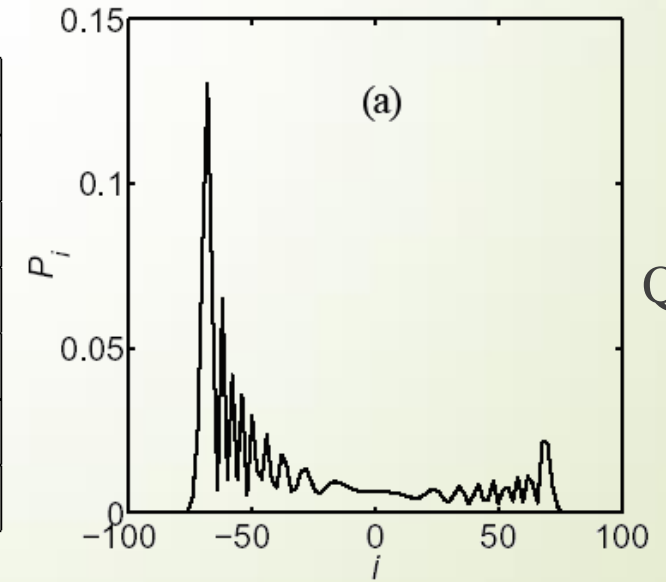
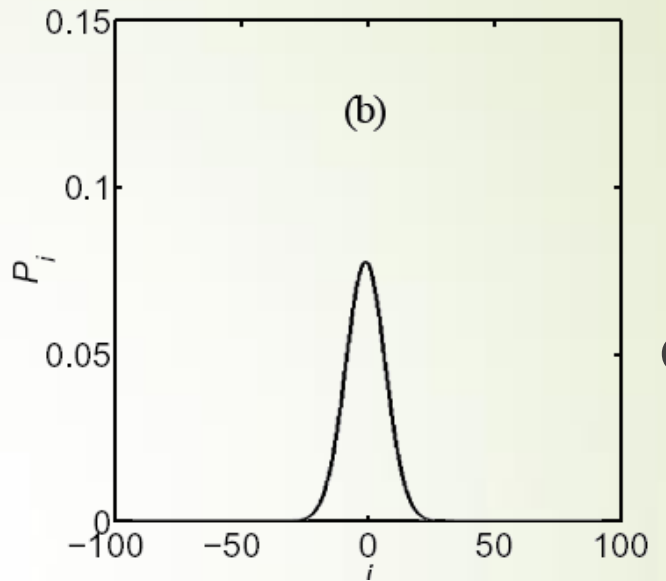
$$S = |\uparrow\rangle\langle\uparrow| \otimes \sum_i |i+1\rangle\langle i| + |\downarrow\rangle\langle\downarrow| \otimes \sum_i |i-1\rangle\langle i|$$

با فرض حالت اولیه  $|\Phi_{in}\rangle = |\downarrow\rangle \otimes |0\rangle$

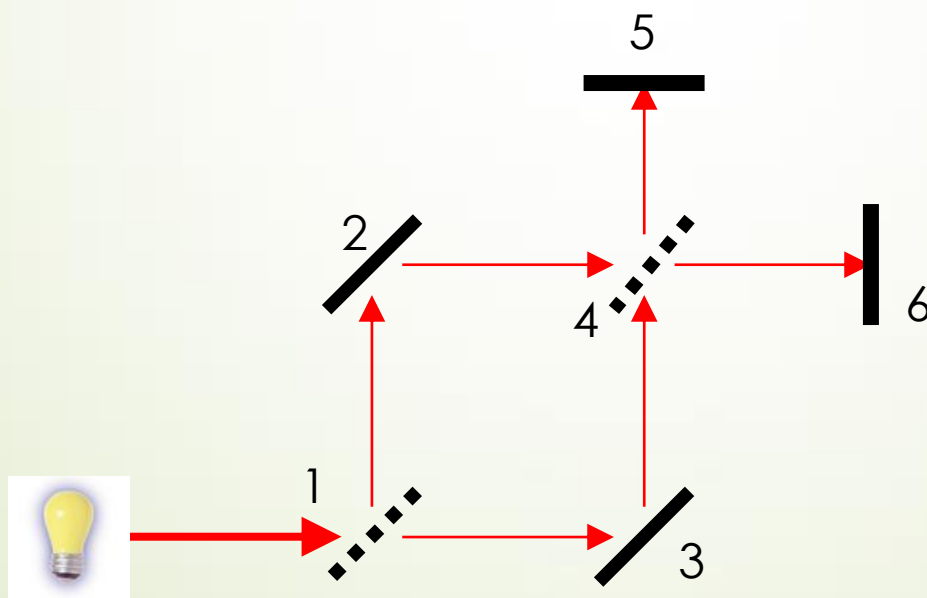
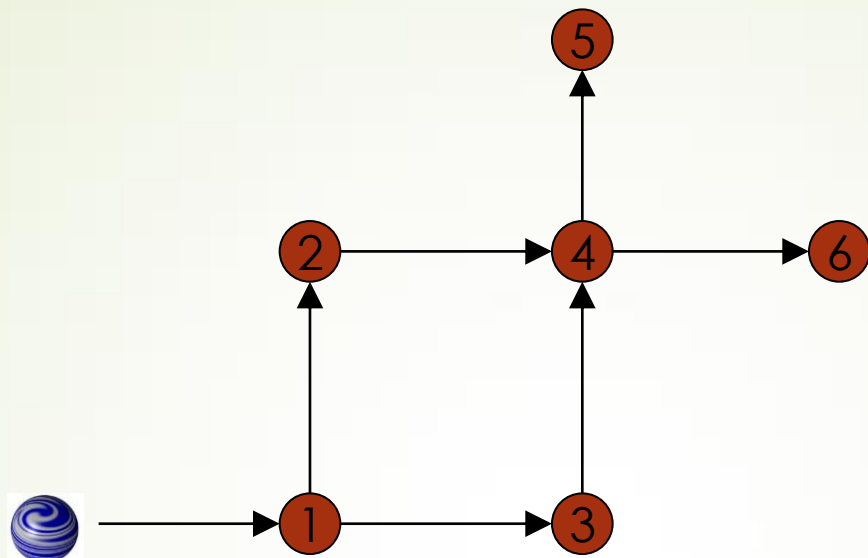
$$\begin{aligned} |\Phi_{in}\rangle &\xrightarrow{U} \frac{1}{\sqrt{2}}(|\uparrow\rangle \otimes |1\rangle - |\downarrow\rangle \otimes |-1\rangle) \\ &\xrightarrow{U} \frac{1}{2}(|\uparrow\rangle \otimes |2\rangle - (|\uparrow\rangle - |\downarrow\rangle) \otimes |0\rangle + |\downarrow\rangle \otimes |-2\rangle) \\ &\xrightarrow{U} \frac{1}{2\sqrt{2}}(|\uparrow\rangle \otimes |3\rangle + |\downarrow\rangle \otimes |1\rangle + |\uparrow\rangle \otimes |-1\rangle - 2|\downarrow\rangle \otimes |-1\rangle - |\downarrow\rangle \otimes |-3\rangle). \end{aligned}$$

$T \setminus i$	-5	-4	-3	-2	-1	0	1	2	3	4	5
0						1					
1					$\frac{1}{2}$		$\frac{1}{2}$				
2				$\frac{1}{4}$		$\frac{1}{2}$		$\frac{1}{4}$			
3			$\frac{1}{8}$		$\frac{3}{8}$		$\frac{3}{8}$		$\frac{1}{8}$		
4		$\frac{1}{16}$		$\frac{1}{4}$		$\frac{3}{8}$		$\frac{1}{4}$		$\frac{1}{16}$	
5	$\frac{1}{32}$		$\frac{5}{32}$		$\frac{5}{16}$		$\frac{5}{16}$		$\frac{5}{32}$		$\frac{1}{32}$

$T \setminus i$	-5	-4	-3	-2	-1	0	1	2	3	4	5
0						1					
1					$\frac{1}{2}$		$\frac{1}{2}$				
2				$\frac{1}{4}$		$\frac{1}{2}$	0	$\frac{1}{4}$			
3			$\frac{1}{8}$		$\frac{5}{8}$		$\frac{1}{8}$		$\frac{1}{8}$		
4		$\frac{1}{16}$		$\frac{5}{8}$		$\frac{1}{8}$		$\frac{1}{8}$		$\frac{1}{16}$	
5	$\frac{1}{32}$		$\frac{17}{32}$		$\frac{1}{8}$		$\frac{1}{8}$		$\frac{5}{32}$		$\frac{1}{32}$



13

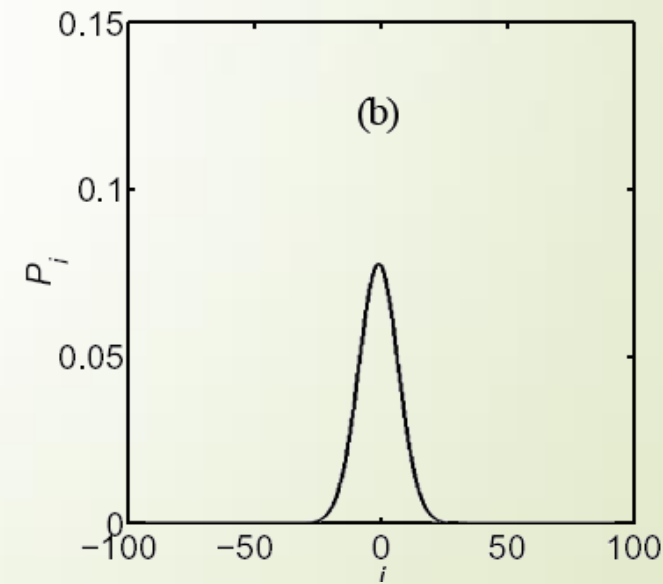
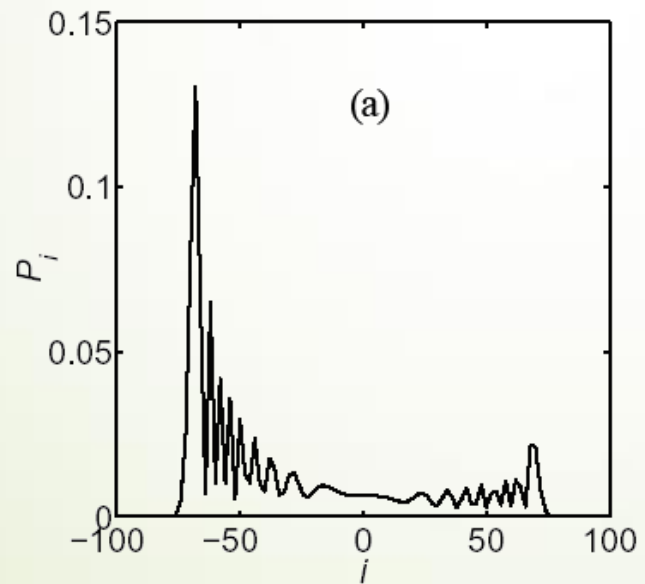


Time	1	2	3	4	5	6
0	1					
1		$\frac{1}{2}$	$\frac{1}{2}$			
2					1	
3					$\frac{1}{2}$	$\frac{1}{2}$

Time	1	2	3	4	5	6
0	1					
1		$\frac{i}{\sqrt{2}}$	$\frac{1}{\sqrt{2}}$			
2					$\frac{i+1}{\sqrt{2}}$	
3					0	1

## تفاوت‌های ولگشتهای کلاسیکی و کوانتومی

- ▶ در کلاسیک توزیع احتمال با گذشت زمان به یک توزیع حدی میل میکند اما در حالت کوانتومی خیر
- ▶ واریانس در حالت کلاسیک نسبت به زمان خطی است اما در کوانتومی با مربع زمان تغییر می کند
- ▶ بیشترین احتمال در حالت کلاسیکی اطراف مبدا است در حالی که در حالت کوانتومی این گونه نیست
- ▶ احتمال بازگشت به مرز جاذب در این دو حالت متفاوت است.



# ساختار ریاضی

روش تبدیل فوریه

$$|\psi(t)\rangle = U^t |\psi(0)\rangle$$

$$U = S \cdot (C \otimes I).$$

$$S = |\uparrow\rangle\langle\uparrow| \otimes \sum_i |i+1\rangle\langle i| + |\downarrow\rangle\langle\downarrow| \otimes \sum_i |i-1\rangle\langle i|$$

قطری کردن  $U^t$  بسیار مشکل است

با فرض حالت ذره در مکان  $n$  بعد از تعداد گام  $\dagger$

$$\Psi(n, t) = \begin{pmatrix} \psi_L(n, t) \\ \psi_R(n, t) \end{pmatrix}$$

$$|\Psi(n, t+1)\rangle = |R\rangle\langle R|U|\Psi(n-1, t)\rangle + |L\rangle\langle L|U|\Psi(n+1, t)\rangle$$

$$C = H = \frac{1}{\sqrt{2}} \begin{pmatrix} 1 & 1 \\ 1 & -1 \end{pmatrix}$$

$$\begin{aligned} \Psi(n, t+1) &= \begin{bmatrix} 0 & 0 \\ \frac{1}{\sqrt{2}} & \frac{-1}{\sqrt{2}} \end{bmatrix} \Psi(n-1, t) + \begin{bmatrix} \frac{1}{\sqrt{2}} & \frac{1}{\sqrt{2}} \\ 0 & 0 \end{bmatrix} \Psi(n+1, t) \\ &= M_+ \Psi(n-1, t) + M_- \Psi(n+1, t), \end{aligned}$$

با استفاده از تبدیل فوریه

$$\tilde{\Psi}(k, t) = \sum_n \Psi(n, t) e^{ikn}$$

$$\tilde{\Psi}(k, t+1) = \sum_n (M_+ \Psi(n-1, t) + M_- \Psi(n+1, t)) e^{ikn}$$

$$\begin{aligned} \tilde{\Psi}(k, t+1) &= M_k^k \tilde{\Psi}(k, t) \sum_n \Psi(n-1, t) e^{ikM_k^{-1}} + e^{-ik} M_- \sum_n \Psi(n+1, t) e^{ik(n+1)} \\ &= (e^{ik} M_+ + e^{-ik} M_-) \tilde{\Psi}(k, t). \quad = \quad \frac{1}{\sqrt{2}} \begin{bmatrix} e^{-ik} & e^{-ik} \\ e^{ik} & -e^{ik} \end{bmatrix}. \end{aligned}$$

► در فضای  $k$  مسئله به شکل زیر خلاصه میشود

17

$$\tilde{\Psi}(k, t) = M_k^t \tilde{\Psi}(k, 0).$$

می توان مسئله را در این فضا حل کرد و با عکس تبدیل فوریه به فضای مکان برگشت. با قطعی کردن  $M_k$

$$M_k = \lambda_k^1 |\Phi_k^1\rangle\langle\Phi_k^1| + \lambda_k^2 |\Phi_k^2\rangle\langle\Phi_k^2|.$$

$$M_k^t = (\lambda_k^1)^t |\Phi_k^1\rangle\langle\Phi_k^1| + (\lambda_k^2)^t |\Phi_k^2\rangle\langle\Phi_k^2|$$

و  $\sin(\omega_k) = \sin(k)/\sqrt{2}$  و  $\lambda_k^1 = e^{-ik\omega_k}$  and  $\lambda_k^2 = e^{i(\pi+\omega_k)}$  که

$$\Phi_k^1 = \frac{1}{\sqrt{2}} \left( (1 + \cos^2 k) - \cos k \sqrt{1 + \cos^2 k} \right)^{-\frac{1}{2}} \begin{bmatrix} e^{-ik} \\ \sqrt{2} e^{-i\omega_k} - e^{-ik} \end{bmatrix}$$

$$\Phi_k^2 = \frac{1}{\sqrt{2}} \left( (1 + \cos^2 k) + \cos k \sqrt{1 + \cos^2 k} \right)^{-\frac{1}{2}} \begin{bmatrix} e^{-ik} \\ -\sqrt{2} e^{i\omega_k} - e^{-ik} \end{bmatrix}$$

$$\tilde{\Psi}(k, t) = e^{-i\omega_k t} \langle \Phi_k^1 | \tilde{\Psi}(k, 0) \rangle \Phi_k^1 + e^{i(\pi + \omega_k)t} \langle \Phi_k^2 | \tilde{\Psi}(k, 0) \rangle \Phi_k^2.$$

با فرض حالت اولیه  $\tilde{\Psi}(k, 0) = (1, 0)^T$

$$\tilde{\psi}_L(k, t) = \frac{1}{2} \left( 1 + \frac{\cos k}{\sqrt{1 + \cos^2 k}} \right) e^{-i\omega_k t} + \frac{(-1)^t}{2} \left( 1 - \frac{\cos k}{\sqrt{1 + \cos^2 k}} \right) e^{i\omega_k t}$$

$$\tilde{\psi}_R(k, t) = \frac{i}{2\sqrt{1 - \cos^2 k}} e^{i\omega_k t}$$

بعد از تعداد گام زوج، ذره فقط در مکانهای زوج پیدا خواهد شد

که با عکس تبدیل فوریه میتوان به فضای مکان ب

$$\psi_L(n, t) = \frac{1 + (-1)^{n+t}}{2} \int_{-\pi}^{\pi} \frac{dk}{2\pi} \left( 1 + \frac{\cos k}{\sqrt{1 + \cos^2 k}} \right) e^{-i(\omega_k t + kn)}$$

$$\psi_R(n, t) = \frac{1 + (-1)^{n+t}}{2} \int_{-\pi}^{\pi} \frac{dk}{2\pi} \frac{e^{ik}}{\sqrt{1 + \cos^2 k}} e^{-i(\omega_k t + kn)}$$

## واهتمادوسی (Decoherency)

▶ در حالتی که سیستم از محیط کاملاً جدا نباشد

$$\rho_{\text{sys}} = \text{Tr}_{\text{Env}}(U\rho U^\dagger)$$

با فرض اینکه

$$\rho = \rho_0 \otimes \rho_{\text{env}} = \sum_{n=0}^m E_n \rho_0 E_n^\dagger,$$

عملگرهای  
کراوس

$$\rho_{\text{sys}} = \sum_{n=0}^m \langle e_n | U | env_0 \rangle \rho_0 \langle env_0 | U^\dagger | e_n \rangle = \sum_{n=0}^m E_n \rho_0 E_n^\dagger,$$

$$\rho(t+1) = \sum_{n=0}^m E_n \rho(t) E_n^\dagger$$

$$\rho(t) = \sum_{n_t=0}^m \cdots \sum_{n_2=0}^m \sum_{n_1=0}^m E_{n_t} \cdots E_{n_2} E_{n_1} \rho(0) E_{n_1}^\dagger E_{n_2}^\dagger \cdots E_{n_t}^\dagger$$

$$|x\rangle = \int_{-\pi}^{\pi} \frac{dk}{2\pi} e^{-ikx} |k\rangle$$

کلیترین شکل عملگرهای کراوس در ولگشتهای یک بعدی به شکل زیر خواهد بود

$$E_n = \sum_x \sum_l \sum_{i,j} a_{x,l,i,j}^{(n)} |x+l\rangle\langle x| \otimes |i\rangle\langle j|$$

$$\tilde{E}_n = \sum_{x,l} \sum_{i,j} a_{x,l,i,j}^{(n)} \iint \frac{dk dk'}{4\pi^2} e^{-ilk} e^{-ix(k-k')}$$

$$\tilde{E}_n = \int \frac{dk}{2\pi} |k\rangle\langle k| \otimes C_n(k), \quad C_n(k) = \sum_l \sum_{i,j} a$$

این فرمالیزم ابر عملگری ابزاری بسیار قدرتمند برای محاسبات تحلیلی ارائه میدهد که نه تنها در حالات واهمدوس بلکه در حالات خالص نیز بسیار کارآمد است.

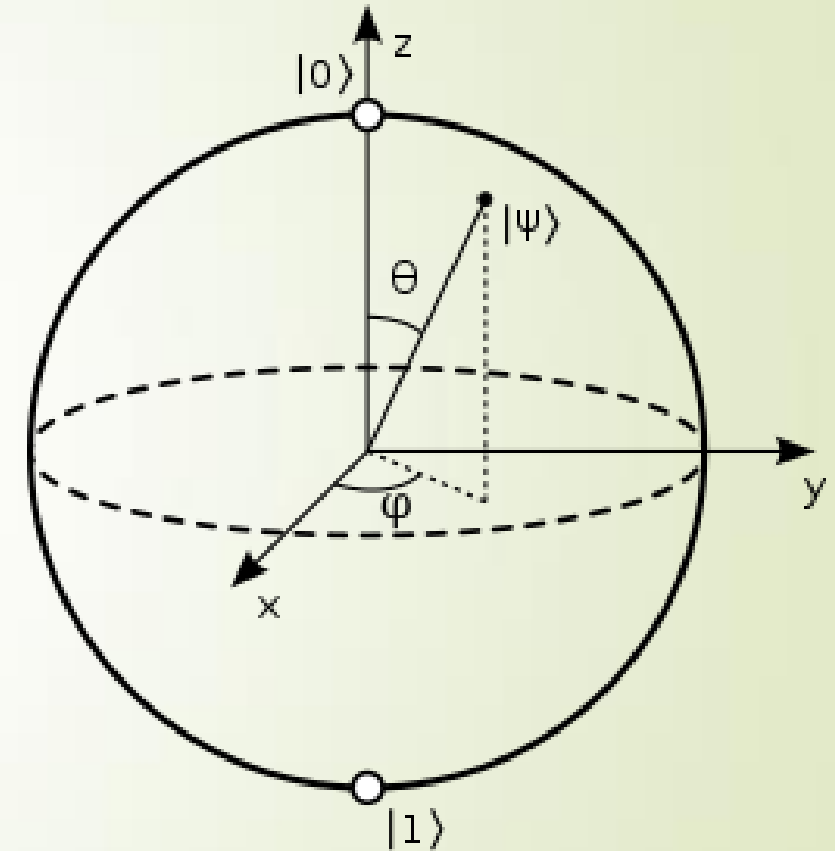
$$\rho(t) = \iint \frac{dk dk'}{4\pi^2} |k\rangle\langle k'| \otimes \mathcal{L}_{k,k'}^t |\psi_0\rangle\langle\psi_0|$$

$$\mathcal{L}_{k,k'} \tilde{O} = \sum_n C_n(k) \tilde{O} C_n^\dagger(k')$$

$$\rho' = U \rho U^\dagger \quad \equiv \quad \rho' = \mathcal{L}_k \rho$$

$$\rho = \begin{pmatrix} \rho_{11} & \rho_{12} \\ \rho_{21} & \rho_{22} \end{pmatrix} \equiv \frac{I + \vec{r} \cdot \vec{\sigma}}{2} \quad \rightarrow \quad \rho = \begin{pmatrix} 1/2 \\ r_1 \\ r_2 \\ r_3 \end{pmatrix}$$

$$\rho' = \mathcal{L}_k \rho \quad \Rightarrow \quad \begin{pmatrix} 1/2 \\ r'_1 \\ r'_2 \\ r'_3 \end{pmatrix} = \mathcal{L}_k \begin{pmatrix} 1/2 \\ r_1 \\ r_2 \\ r_3 \end{pmatrix}$$



وجود کوچکترین نویه ای در فضای سکه، ولگشت را تبدیل به کلاسیک می کند

- Brun T, Carteret H, Ambainis A (2003) Quantum to Classical Transition for Random Walks. *Phys Rev Lett* 91:1–4
- Brun TA, Carteret HA, Ambainis A (2002) Quantum random walks with decoherent coins. *Phys Rev A* 67:032304  
بررسی ولگشتهای چند سکه ای
- Brun T, Carteret H, Ambainis A (2003) Quantum walks driven by many coins. *Phys Rev A* 67:052317  
محاسبه بیشترین نویه برای بروز خواص کوانتومی در broken-line QW
- Annabestani M, Akhtarshenas SJ, Abolhassani MR (2010) Decoherence in a one-dimensional quantum walk. *Phys Rev A* 81:032321  
وجود نویه روی فضای مکان در ولگشتهای کوانتومی خواص کوانتومی را حفظ و سرعت انتشار را افزایش میدهد
- Annabestani M (2018) Analytical expression for variance of homogeneous-position quantum walk with decoherent position. *Quantum Inf Process* 17:32 .

## ماتریس چگالی کاهش یافته

$$\rho_c(t) = Tr_x(\rho(t)) = \sum_x \langle x | \Psi(t) \rangle \langle \Psi(t) | x \rangle$$

$$\delta(\mathbf{k} - \mathbf{k}') = \frac{1}{(2\pi)^m} \sum_{\mathbf{r}} e^{-i(\mathbf{k}-\mathbf{k}') \cdot \mathbf{r}} \quad \text{با استفاده از } \int \frac{d^m \mathbf{k}'}{(2\pi)^m} |\mathbf{k}'\rangle \langle \mathbf{k}'| = I \quad \rightarrow$$

$$\rho_c(t) = \sum_x \langle x | \Psi(t) \rangle \langle \Psi(t) | x \rangle = \int \frac{d^m \mathbf{k}}{(2\pi)^m} |\psi_k(t)\rangle \langle \psi_k(t)|$$

$$|\psi_k(t)\rangle = U_k^t |\psi_k(0)\rangle = \sum_{\{\omega_k\}} e^{i\omega_k t} |\omega_k\rangle \langle \omega_k| \psi_k(0)\rangle$$

$$\begin{aligned} \rho_c(t) = & \int \frac{d^m \mathbf{k}}{(2\pi)^m} \sum_{\{\omega_k, \omega'_k\}} e^{i(\omega_k - \omega'_k)t} |\omega_k\rangle \langle \omega'_k| \times \\ & \langle \omega_k | \psi_k(0)\rangle \langle \psi_k(0) | \omega'_k \rangle. \end{aligned}$$

$$I(t) = \int_a^b g(k) e^{it\phi(k)} dk$$

$$I(t) \sim g(a) e^{it\phi(a) \pm i\pi/2p} \left[ \frac{p!}{t |\phi^{(p)}(a)|} \right]^{1/p} \frac{\Gamma(1/p)}{p}, \quad t \rightarrow +\infty$$

$$\hat{\rho}_c = \int \frac{d^m \mathbf{k}}{(2\pi)^m} \sum_{\{\omega_k\}} |\omega_k\rangle\langle\omega_k| \times \langle\psi_k(0)|\omega_k\rangle\langle\omega_k|\psi_k(0)\rangle$$

خواهیم داشت

$$\hat{\rho}_c = \int \frac{d^m \mathbf{k}}{(2\pi)^m} Tr_1 (P_0(\mathbf{k}) \otimes I \mathcal{C}(\mathbf{k}))$$

$$\mathcal{C}(\mathbf{k}) = \sum_{\{\omega_k\}} |\omega_k\rangle\langle\omega_k| \otimes |\omega_k\rangle\langle\omega_k|,$$

برای کلیترین شکل عملگر سکه  $\text{U}(2)$  ➡

25

$$U(2) \equiv e^{i\frac{\phi}{2}} \begin{pmatrix} e^{i\alpha} \cos \theta & e^{i\beta} \sin \theta \\ -e^{-i\beta} \sin \theta & e^{-i\alpha} \cos \theta \end{pmatrix}$$

$$\mathcal{C}(k)_{U(2)} = \begin{pmatrix} 1-L & -F^* & -F^* & G^* \\ -F & L & L & F^* \\ -F & L & L & F^* \\ G & F & F & 1-L \end{pmatrix} \quad \begin{aligned} \cos \gamma &= \cos \theta \cos(k-\alpha) \\ L &= \frac{\sin^2 \theta}{2 \sin^2 \gamma} \\ G &= -\frac{\sin^2 \theta}{2 \sin^2 \gamma} e^{2i(k-\beta)} \\ F &= \frac{i \sin(k-\alpha) \sin \theta \cos \theta}{2 \sin^2 \gamma} e^{i(k-\beta)} \end{aligned}$$

$$\mathcal{C}_L = \int \frac{d^m \mathbf{k}}{(2\pi)^m} \mathcal{C}(\mathbf{k})$$

برای حالت اولیه موضعی ➡

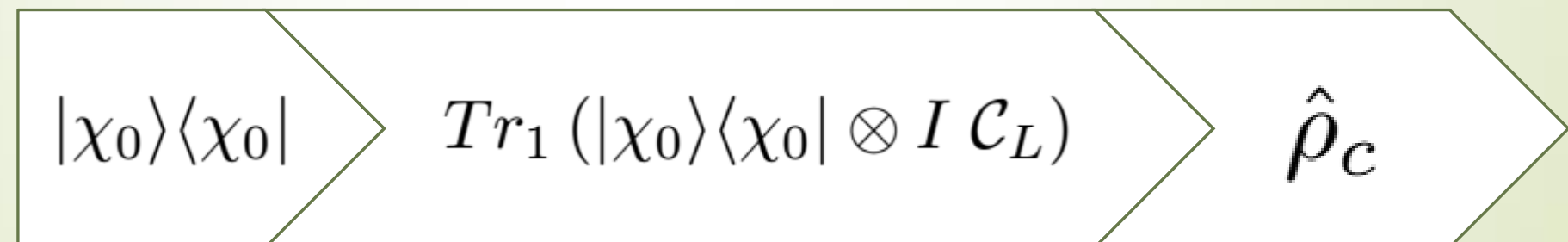
$$\mathcal{C}_S = \int \frac{d^m \mathbf{k}}{(2\pi)^m} |Q(\mathbf{k})|^2 \mathcal{C}(\mathbf{k})$$

و حالت جدایی پذیر توزیع شده ➡

$$\mathcal{C}_{U(2)}^L = \frac{1}{2} \begin{pmatrix} 2 - \sin \theta & f^* & f^* & g^* \\ f & \sin \theta & \sin \theta & -f^* \\ f & \sin \theta & \sin \theta & -f^* \\ g & -f & -f & 2 - \sin \theta \end{pmatrix}$$

$$f = \frac{\sin \theta \cos \theta}{\sin \theta + 1} e^{i(\alpha - \beta)}$$

$$g = \frac{\sin \theta (\sin \theta - 1)}{\sin \theta + 1} e^{2i(\alpha - \beta)}$$

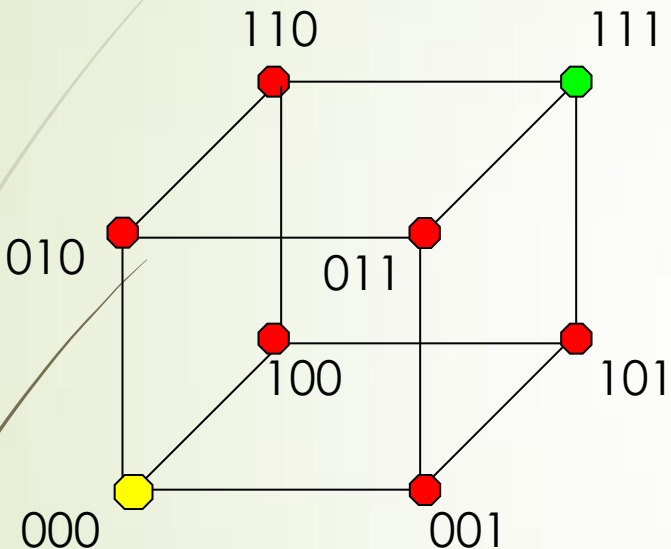


## نمونه مطالعات مرتبط با ماتریس چگالی کاهش یافته

- 1) Vieira R, Amorim EPM, Rigolin G (2013) Dynamically Disordered Quantum Walk as a Maximal Entanglement Generator. *Phys Rev Lett* 111:180503
- 2) Romanelli A (2010) Distribution of chirality in the quantum walk: Markov process and entanglement. *Phys Rev A* 81:062349.
- 3) Abal G, Siri R, Romanelli A, Donangelo R (2006) Quantum walk on the line: Entanglement and nonlocal initial conditions. *Phys Rev A* 73:042302 .
- 4) Díaz N, Donangelo R, Portugal R, Romanelli A (2016) Transient temperature and mixing times of quantum walks on cycles. *Phys Rev A* 94:012305
- 5) Romanelli A (2012) Thermodynamic behavior of the quantum walk. *Phys Rev A* 85:1–8
- 6) .....

# کاربردهای ولگشتهای کوانتومی

Quantum Random Walks Hit Exponentially Faster ➔



- ❖ در یک  $n$ -bit ابر مکعب، سرعت انتقال از یک راس به راس مقابل به صورت خطی از  $n$  است.
- ❖ اولین نمونه‌ای که تفاوت hitting time را در الگوریتمهای کلاسیکی و کوانتومی مشخص کرد.

Quantum Random Walks Hit Exponentially Faster

JULIA KEMPE

CNRS-LRI, UMR 8623

Université de Paris-Sud, 91405 Orsay, France  
and

Computer Science Division and Dept. of Chemistry

## Quantum search algorithms ➔

❖ پیدا کردن یک عنصر مشخص در یک مجموعه نامنظم

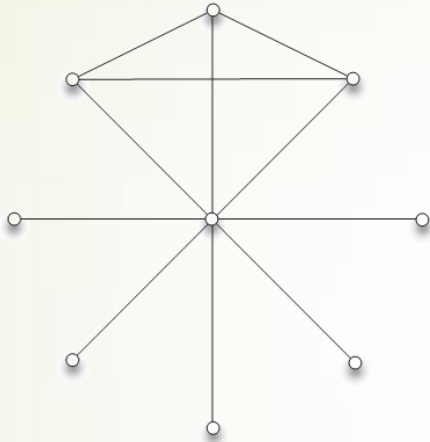
❖ در الگوریتم گراور این کار با سرعت تساعدی بهتر از بهترین الگوریتمهای کلاسیک انجام میشود

❖ الگوریتمهای بر پایه واگشت با سرعتی مشابه گراور این کار را انجام میدهند.

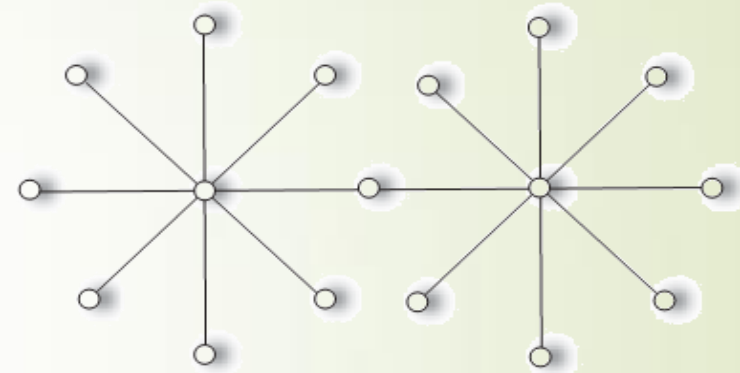
1. Shenvi N, Kempe J, Whaley KB (2002) A Quantum Random Walk Search Algorithm. *Measurement* 1–13 .*Phys Rev A* 67: 052307
2. 1. Santha M (2008) Quantum walk based search algorithms. *Theory Appl Model Comput* 16
3. 1. Childs AM, Goldstone J (2003) Spatial search by quantum walk. *Phys Rev A* 70:022314
4. 1. Wong TG (2015) Faster Quantum Walk Search on a Weighted Graph. *Phys Rev A* 92:032320.

## Structural anomalies in graphs ➔

- ➡ Hillery M, Zheng H, Feldman E, et al (2012) Quantum walks as a probe of structural anomalies in graphs. Phys Rev A 85:062325.



مکانی که ارتباط شبکه تغییر کرده  
را میتوان پیدا کرد



میتوان پی برد که دو شبکه به هم  
متصل هستند یا خیر

PHYSICAL REVIEW A 85, 062325 (2012)

### Quantum walks as a probe of structural anomalies in graphs

Mark Hillery and Hongjun Zheng

*Department of Physics, Hunter College, City University of New York, 695 Park Avenue, New York, New York 10065 USA*

- ➡ Childs AM (2009) Universal Computation by Quantum Walk. *Phys Rev Lett* 102:180501
- ➡ Lovett NB, Cooper S, Everitt M, et al (2010) Universal quantum computation using the discrete-time quantum walk. *Phys Rev A* 81:042330
- ➡ Childs AM, Gosset D, Webb Z (2012) Universal computation by multi-particle quantum walk. *Quantum* 1–54 . doi: 10.1126/science.1229957

---

PRL 102, 180501 (2009)

PHYSICAL REVIEW LETTERS

week ending  
8 MAY 2009

## Universal Computation by Quantum Walk

Andrew M. Childs

*Department of Combinatorics and Optimization and Institute for Quantum Computing, University of Waterloo,  
200 University Avenue West, Waterloo, Ontario, Canada N2L 3G1*  
(Received 11 June 2008; published 4 May 2009)

- ▶ Arrighi P, Nesme V, Forets M (2014) The Dirac equation as a quantum walk: higher dimensions, observational convergence. *J Phys A Math Theor* 47:465302.
- ▶ Mallick A, Chandrashekhar CM (2016) Dirac Cellular Automaton from Split-step Quantum Walk. *Sci Rep* 6:25779.
- ▶ Arrighi P, Di Molfetta G, Márquez-Martín I, Pérez A (2018) Dirac equation as a quantum walk over the honeycomb and triangular lattices. *Phys Rev A* 97:062111.

## The Dirac equation as a quantum walk over the honeycomb and triangular lattices

Pablo Arrighi<sup>\*</sup>

*Aix-Marseille Univ, Université de Toulon, CNRS, LIS, Marseille, France and IXXI, Lyon, France*

Giuseppe Di Molfetta<sup>†</sup> and Iván Márquez-Martín<sup>‡</sup>

*Aix-Marseille Univ, Université de Toulon, CNRS, LIS, Marseille,*

*France and Departamento de Física Teórica and IFIC,*

*Universidad de Valencia-CSIC, Dr. Moliner 50, 46100-Burjassot, Spain*

## Quantum estimation & quantum magnetometry ➔

- Razzoli L, Ghirardi L, Siloi I, et al (2019) Lattice quantum magnetometry. Phys Rev A 99:062330 .

PHYSICAL REVIEW A **99**, 062330 (2019)

### Lattice quantum magnetometry

Luca Razzoli,<sup>1</sup> Luca Ghirardi,<sup>1</sup> Ilaria Siloi,<sup>2</sup> Paolo Bordone,<sup>1,3</sup> and Matteo G. A. Paris<sup>4,5,\*</sup>

<sup>1</sup>*Dipartimento di Scienze Fisiche, Informatiche e Matematiche,  
Università di Modena e Reggio Emilia, I-41125 Modena, Italy*

- Singh S, Chandrashekhar CM, Paris MGA (2019) Quantum walker as a probe for its coin parameter. Phys Rev A 99:052117.

PHYSICAL REVIEW A **99**, 052117 (2019)

### Quantum walker as a probe for its coin parameter

Shivani Singh<sup>\*</sup> and C. M. Chandrashekhar<sup>†</sup>

*The Institute of Mathematical Sciences, CIT campus, Taramani, Chennai 600113, India  
and Homi Bhabha National Institute, Training School Complex, Anushakti Nagar, Mumbai 400094, India*

با سپاس از توجه شما